

## まさ土地盤のコーン貫入試験機の適用性について

呉 高専 小堀慈久・室蘭工大 有出哲也  
群馬大学 山田一臣・東広島市 堀内啓弘

### 1. まえがき

まさ土の分布地域は広域である事や傾斜地での調査等、困難な場合が多い。そのため、試験法が容易であり、軽量機器であるコーン貫入試験機（ポーラル・コーンペックメーター）を用いる事を試みた。本報、軟弱地盤を対象とするもので砂質土には一般に用いられていない。本報告では、締固めによるまさ土試験地盤を作成し、そこでコーン貫入試験機の適用性を検討し、また原位置での支持力とも比較検討する。ここでは湿润状態での検討に重点を置く。また、不搅乱試料による三軸試験を行い、コーン支持力と強度定数の比較を行う。

### 2. 実験方法

3種類のまさ土締固地盤No.1~3を設定した。各々締固地盤とした。試験の方法として、まず(1)は自然状態の含水比で試験を行い、次に地表面に十分給水し湿润状態として行った貫入試験中も給水を続けた。(2)は地盤密度を変化させ間隙比とコーン支持力の関係を見た。(3)写真-1に先端コーンを示す、4種類で、コーン断面積は $3.14 \text{ cm}^2$ 、 $4.91 \text{ cm}^2$ 、 $6.45 \text{ cm}^2$ 、 $9.07 \text{ cm}^2$ である。また、コーン先端角度は $30^\circ$ とした。標準コーンは $6.45 \text{ cm}^2$ である。(4)貫入速度は $10 \text{ mm/sec}$ 、 $30 \text{ mm/min}$ の2種類で行った。三軸試験は不搅乱試料により行い、試料採取はハンドボーリング法で行い、試料は凍結法により成形しC-D試験を行った。軸変位速度は $0.17 \text{ mm/min}$ で行った。締固及び原位置地盤の物性値を表-1に、図-1に粒径加積曲線を示す。

原位置の調査、試験も行い比較検討する。

### 3. 結果と考察

#### (1) 締固め地盤と原位置地盤の諸物性

まさ土による締固地盤No.1~3の間隙比は各々 $e = 0.67$ 、 $0.56$ 、 $0.54$ 、平均初期含水比 $w_0$ は $6.4\%$ 、湿润状態での平均含水比は $12\%$ である。粒度分布は図-2のように均等係数 $U_c$ は $13$ 、 $U_{10}$ は $0.075 \text{ mm}$ 。

表-1、2の試験地盤の値は平均値である。

原位置地盤は5箇所で行い $e = 0.77 \sim 1.38$ 、 $w_0 = 13 \sim 34\%$ 、 $U_c = 59 \sim 400$ である。

#### (2) 原位置のせん断強度

三軸試験は飽和状態として行い側圧 $\sigma_3 = 0.4 \sim 0.8 \text{ kgf/cm}^2$ で行った。結果を表-2、図-2に示す。図-2の応力～ひずみ～体積変化関係は阿賀北地区の場合を示す。側圧 $\sigma_3$ の増加に伴い軸差応力も増加している

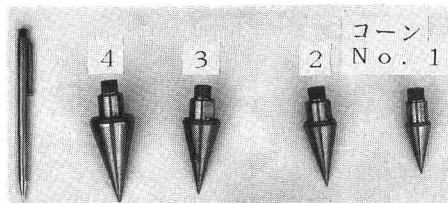


写真-1 先端コーン (4種類)

表-1 原位置地盤の物性値

	$w_0$ (%)	$w$ (%)	$\gamma_s$ ( $\text{kgf/cm}^3$ )	$U_{10}$	$U_c$	$G_s$
1) 試験地盤	6.4	12.0	1.68	0.075	13	2.64
2) 大入地区	14.0	27.0	1.47	0.0025	180	2.62
3) 見晴地区	13.0	23.0	1.46	0.0015	400	2.64
4) 宮原地区	16.0	24.0	1.40	0.0038	66	2.59
5) 猿付地区	23.0	24.0	1.38	0.0009	78	2.68
6) 阿賀北地区	34.0	58.0	1.03	0.0009	59	2.62

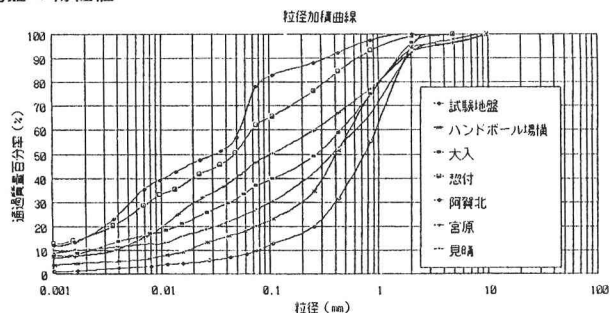


図-1 原位置地盤の粒径加積曲線

表-2 原位置地盤の強度定数

	$e$	$\phi_a$ (°)	$c_a$ ( $\text{kgf/cm}^2$ )	$\phi_a$ (°)	$c_a$ ( $\text{kgf/cm}^2$ )
1) 試験地盤	0.59	38	0	—	—
2) 大入地区	0.77	32	0	—	—
3) 見晴地区	0.81	34	0	3.6	0
4) 宮原地区	0.87	31	0	3.6	0.03
5) 猿付地区	0.91	30	0	3.0	0.01
6) 阿賀北地区	1.38	31	0.06	3.2	0.10

結果を表-2、図-2に示す。図-2の応力～ひずみ～体積変化関係は阿賀北地区の場合を示す。側圧 $\sigma_3$ の増加に伴い軸差応力も増加しているが表-2にあるように $e$ が大きく体積は圧縮している。各々の $\phi_a$ は

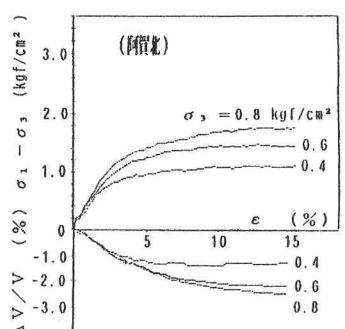


図-2 応力・ひずみ・体積変化

30~34°、 $C_d$  は阿賀北を除いて 0 であった。また、図-3 のような関係が  $\phi_d$  と  $e$  に見られ、その相関がよく出ている。

### (3) 締固め地盤のコーン支持力

先ず自然状態と給水による湿润状態とを比較すると湿润状態は貫入深度が大きい。間隙比が小さいとコーン支持力  $q_c$  は大きい。コーン断面積は No. 1 の  $3.14 \text{ cm}^2$  ~ No. 4 の  $9.07 \text{ cm}^2$  の 4 種類ありまさ土等に対してどのコーンが有効であるかを検討した。図-4 は湿润状態のコーン支持力  $q_c$  ( $\text{kgf/cm}^2$ ) の値で、地盤 No. 1 ( $e = 0.67$ ) の場合でコーン No. 1 と No. 3 を比較する。深さ  $D = 15 \text{ cm}$  の  $q_c$  値と原点を通る直線で表しその傾度を  $\theta_q$  とする。コーン No. 1 は  $\theta_q = 44^\circ$ 、No. 3 は  $33^\circ$  となりコーン断面積が大きい No. 3 は  $q_c$  値が小さいため  $\theta_q$  が小さくなる。No. 3 は  $q_c$  値が線形的で簡略化しやすい。

また、他の締固め地盤でもコーン No. 3 が同様の傾向を示し安定した結果が得られた。

### (4) 原位置地盤のコーン支持力

前述のコーン No. 3 を用いて原位置地盤のコーン支持力  $q_c$  を計測した。図-5 は自然含水状態での結果で、 $e$  の小さい大入地

区では大きな  $\theta_q$  となっている。阿賀北地区はシルト化したまさ土で  $e$  も大きくなっている特異な地点であった。

図-6 は湿润状態での  $q_c$  値の結果である。ここでは間隙比  $e$  の影響が強くなり  $q_c$  値の傾度  $\theta_q$  に差が見られる。

### (5) コーン支持力と強度定数の関連

$q_c$  値から得られる傾度  $\theta_q$  と同じ原位置地盤で得られた土の強度定数

$\phi_d$  との関連を検討した。図-7 は締固め地盤での結果である。地盤 No. 1 は緩詰めで地盤 No. 3 は密詰めである。傾度  $\theta_q$  と内部摩擦角  $\phi_d$  との関係が得られた。図-8 は原位置地盤での結果である。傾度  $\theta_q$  と  $\phi_d$  の関係にその傾向がみられる。さらに原位置地盤での試験データが必要である。

## 4. まとめ

まさ土地盤でのコンペネの適用性について検討した。 $e$  が小さいほど  $q_c$  大きな値となった。コーン断面積の関連ではコーン No. 3 が安定した値を示す。 $q_c$  から得られる  $\theta_q$  と強度定数  $\phi_d$  とに相関性が得られた。最後に本研究を行うにあたり丁寧な御指導を頂いた愛媛大学・八木則男教授に深謝致します。尚、本研究の一環は平成3年度特定研究費によって行われた事を付記する。

[参考文献] (1) (社) 土工学会: 土質試験に関するシンポジウム論文集, pp. 85~212, 1988. (2) 沢浦・林・吉田: 土力学, pp. 117~138, 技報出版, 1990.

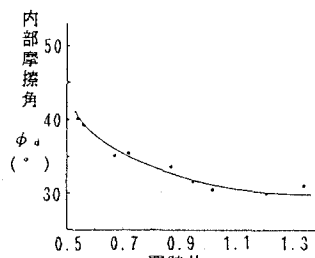


図-3 原位置の  $\phi_d$  と  $e$

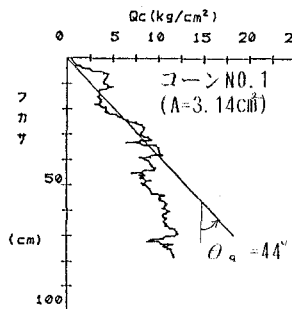


図-4 コーン断面積と  $q_c$

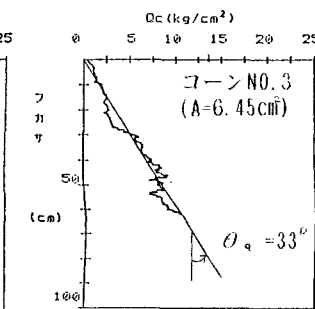


図-4 コーン断面積と  $q_c$

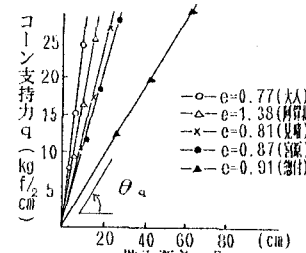


図-5 原位置のコーン支持力 (自然)

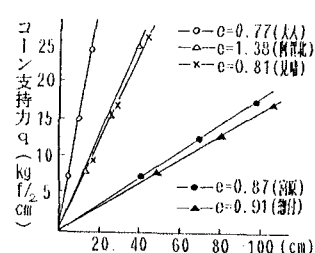


図-6 原位置のコーン支持力 (湿润)

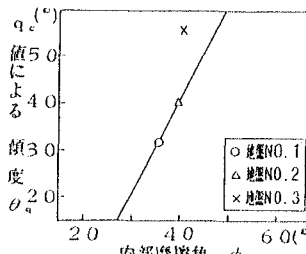


図-7 締固め地盤での  $\theta_q$  と  $\phi_d$

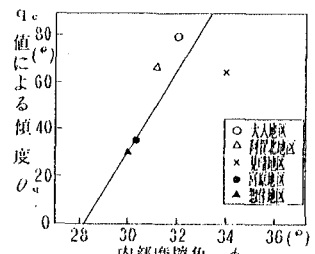


図-8 原位置での  $\theta_q$  と  $\phi_d$